

Um estudo sobre a otimalidade dinâmica de *BSTs*

George Edson Albuquerque Pinto
Victor Almeida Campos

Universidade Federal do Ceará, Fortaleza-CE, Brasil.
{georgeapinto, campos}@lia.ufc.br

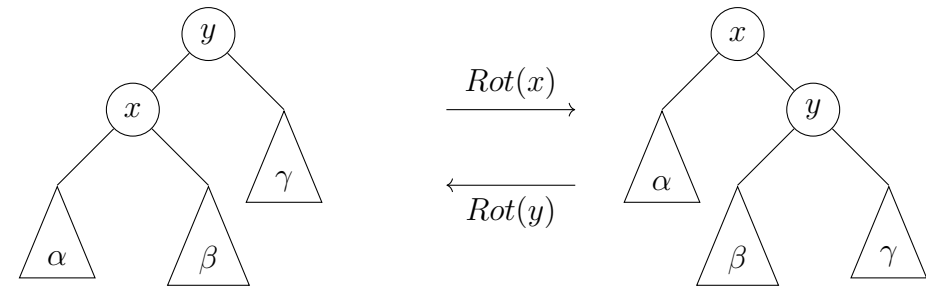


1. Introdução

As *árvores binária de busca* ou, do inglês, *Binary Search Tree* - *BST* são uma estrutura de dados clássica. Uma *BST* armazena um conjunto de chaves. Além disso, suporta operações como: busca, inserção e remoção de chaves. Apesar de décadas de pesquisa, uma questão fundamental sobre as *BSTs* permanece sem solução: qual é a “melhor estrutura *BST*”? Esse problema ainda não é resolvido, mesmo para o caso em que não é permitido inserções e remoções (neste trabalho vamos focar nesse problema).

Dada uma *BST* T com as chaves $\{1, \dots, n\}$, uma busca por uma chave s em T é realizada com um ponteiro percorrendo T iniciando na raiz e podendo mover-se para o nó filho esquerdo/direito ou para o nó pai, e realizar rotações entre o nó apontado pelo ponteiro e seu nó pai – temos na figura 2 um exemplo de rotação; no entanto, o ponteiro deve, em algum momento da busca, tocar s . O custo de uma busca é a quantidade total de nós distintos tocados. Para uma sequência de buscas $S = \langle s_1, \dots, s_m \rangle$ em uma *BST* T_0 , a busca por s_i é realizada em T_{i-1} retornando T_i . Culik e Wood mostraram que a quantidade de rotações na transformação de T_{i-1} em T_i na busca por s_i pode ser feita com até duas vezes a quantidade de nós tocados [1]. Denotamos por $OPT(S)$ o menor custo para buscar S em alguma árvore T_0 .

Figura 2: Rotação em uma *BST*



Um algoritmo *BST* é *offline* se a sequência de buscas é conhecida a princípio e é *online* se as buscas são conhecidas incrementalmente. Um algoritmo *BST online* é $f(n)$ -competitivo se seu custo sobre uma sequência S é limitado por uma função $f(n)OPT(S)$ para todo S . Dizemos que um algoritmo *BST* A é *dinamicamente ótimo* se A é $\mathcal{O}(1)$ -competitivo.

Para uma sequência de m buscas em uma *BST* balanceada estática, um algoritmo *BST* é $\mathcal{O}(\ln n)$ -competitivo. Para o problema em que a árvore é estática, existe um algoritmo de programação dinâmica capaz de encontrar uma árvore ótima em tempo $\mathcal{O}(n^2)$ [2].

Sleator e Tarjan apresentaram a *árvore Splay* [3] e conjecturaram que essa árvore é dinamicamente ótima. No entanto, ainda não foi provado que árvores *Splay*, ou qualquer outra *BST*, é dinamicamente ótima. Alguns limitantes para $OPT(S)$ foram propostos. Lucas propôs um algoritmo *BST offline* guloso para encontrar um limite superior, e conjecturou que seu algoritmo fornece uma aproximação de fator constante para $OPT(S)$ [4]. Demaine et al. também propuseram um algoritmo para o limite superior [5]. Para o limite inferior Wilber propôs dois limites [6], e mais recentemente Demaine et al. apresentaram a árvore *Tango*, que é $\mathcal{O}(\ln \ln n)$ -competitiva [7], e Wang, Derryberry e Sleator propuseram a árvore *multisplay* [8], que também é $\mathcal{O}(\ln \ln n)$ -competitiva e é uma combinação das árvores *Splay* e *Tango*.

2. Definições

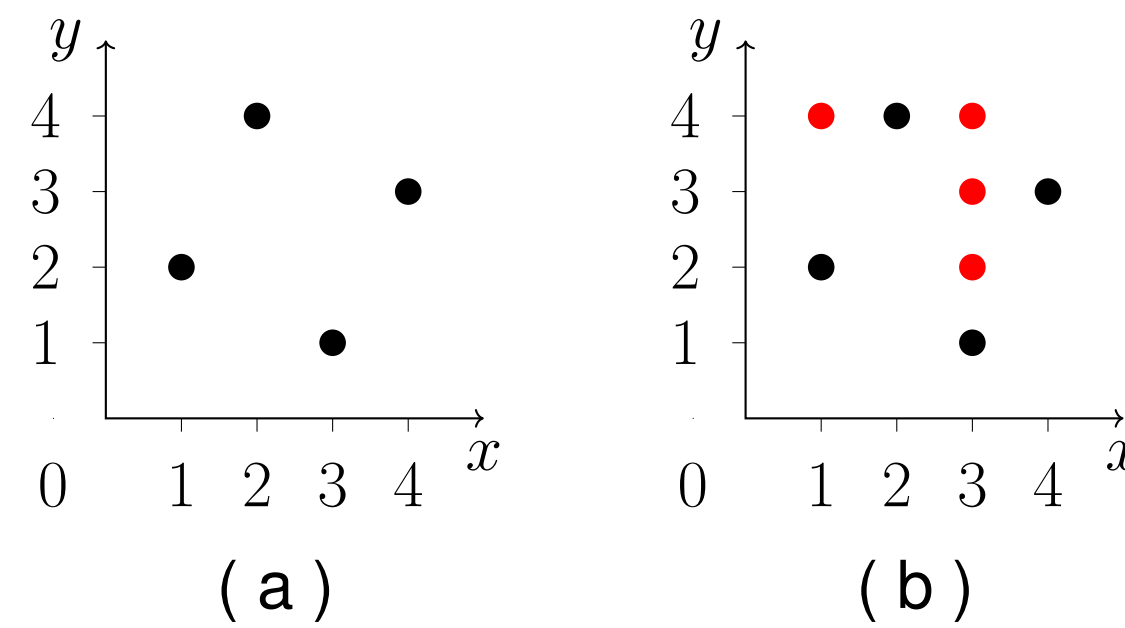
Um *ponto* p se refere a um ponto em 2D com coordenadas inteiras (p_x, p_y) tal que $1 \leq p_x \leq n$ e $1 \leq p_y \leq m$. Usamos \square_{ab} para denotar o *retângulo* alinhado aos eixos definido por dois pontos a e b não alinhados horizontalmente/verticalmente, isto é, $\square_{ab} = \{(x, y) \in \mathbb{Z} \times \mathbb{Z} \mid \min\{x_a, x_b\} \leq x \leq \max\{x_a, x_b\} \text{ e } \min\{y_a, y_b\} \leq y \leq \max\{y_a, y_b\}\}$. Dizemos que \square_{ab} é um \boxtimes -*retângulo* se a inclinação da linha \overline{ab} é positiva ou \boxminus -*retângulo* se a inclinação da linha \overline{ab} é negativa.

Um par de pontos $(a, b) \in P$ é *arboreamente satisfeito* em P se, ou a e b são alinhados horizontalmente/verticalmente, ou existe pelo menos um ponto de $P \setminus \{a, b\}$ em \square_{ab} . Um conjunto de pontos P é arboreamente satisfeito se todos os pares de pontos em P são arboreamente satisfeitos. A *visão geométrica de uma execução BST* E é o conjunto de pontos $P(E) = \{(x, y) \mid x \in \tau_y\}$, onde τ_y são os nós tocados na busca por s_i .

Seja a *visão geométrica de uma sequência de buscas* o conjunto de pontos $P(S) = \{(s_1, 1), \dots, (s_m, m)\}$. Na figura

4(a) temos um exemplo da visão geométrica da sequência de buscas $S = \{3, 1, 4, 2\}$. Na figura 4(b) temos um conjunto de pontos P' arboreamente satisfeito tal que $P(S) \subseteq P'$.

Figura 4: visão geométrica de uma sequência de buscas e conjunto arboreamente satisfeito



Lema 2.1 ([5]). *O conjunto de pontos $P(E)$ para qualquer execução BST E é arboreamente satisfeito.*

Lema 2.2 ([5]). *Para qualquer conjunto de pontos arboreamente satisfeito P , existe uma execução BST E com $P(E) = P$.*

Os lemas 2.1 e 2.2 mostraram que uma execução E de uma sequência de buscas S é equivalente ao conjunto arboreamente satisfeito P tal que $P = P(E)$ e $P(S) \subseteq P(E)$.

Denotamos por $\min ASS(S)$ o tamanho no menor superconjunto arboreamente satisfeito de $P(S)$. Assim, temos que $OPT(S) = \min ASS(S)$.

O problema do superconjunto arboreamente satisfeito *online* (*ASS online*) é projetar um algoritmo que receba um conjunto de pontos $(s_1, 1), \dots, (s_m, m)$ nesta ordem. Depois de receber (s_i, i) , o algoritmo gera um conjunto de pontos P_i tal que $\{(s_1, 1), \dots, (s_i, i)\} \cup P_1 \cup \dots \cup P_i$ seja arboreamente satisfeito.

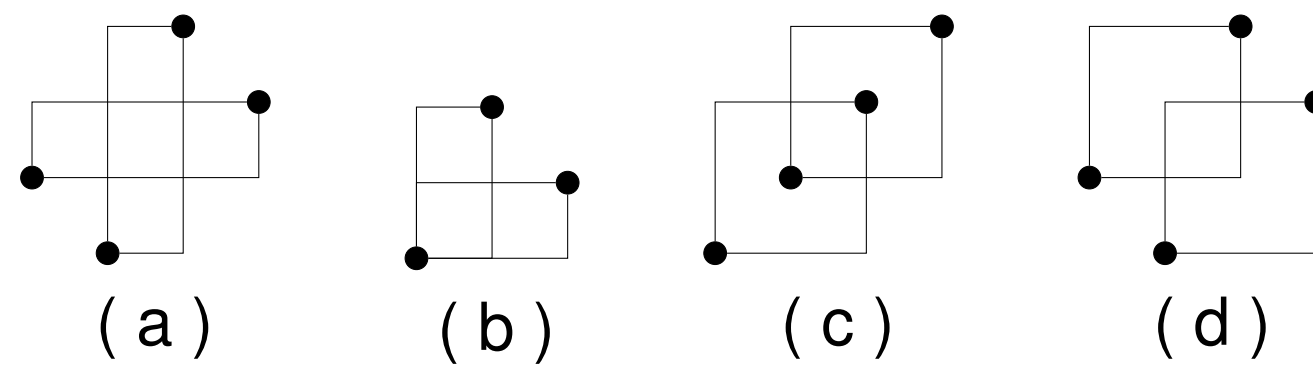
Lema 2.3 ([5]). *Para qualquer algoritmo ASS online A , existe um algoritmo BST online A' tal que, em qualquer sequência de buscas, o custo de A' é limitado por uma constante multiplicativa do custo de A .*

3. Limitantes

3.1 Limites inferiores

Dois retângulos \square_{ab} e \square_{cd} são *independentes* $(a, b, c, d \in P)$ em P se os retângulos não são arboreamente satisfeitos e nenhum canto de qualquer dos retângulos estiver estritamente dentro do outro.

Figura 6: Retângulos independentes e dependentes



Temos exemplos de retângulos independentes nas figuras 6(a) e 6(b), e de retângulos dependentes em 6(c) e 6(d). Denotamos a quantidade máxima retângulos independente que podem ser formado no conjunto de pontos P por $\max IRB(P)$.

Wilber propôs dois limites inferiores para $OPT(S)$ em uma *BST* T [6]. O primeiro limite depende de uma árvore binária P com as mesmas chaves de T , chamada de *árvore de limite inferior*. Esta árvore tem sua estrutura fixa. O segundo limite proposto por Wilber não depende da árvore de limite inferior nem de T . Baseado nesses algoritmos, Demaine et al. apresentaram uma construção de um conjunto de retângulos independentes para cada limite de Wilber [5].

Um conjunto de pontos P é \boxtimes -*satisfeito* se todo par de pontos $(a, b) \in P$ que formam um \boxtimes -retângulo \square_{ab} é arboreamente satisfeito. Denotamos como $\min ASS_{\boxtimes}(P)$ o tamanho do menor superconjunto \boxtimes -satisfeito de P . Demaine et al. propuseram o algoritmo guloso *SIGNEDGREEDY* [5] para calcular $\min ASS_{\boxtimes}(P)$, onde o conjunto de pontos P é varrido incrementalmente na coordenada y , e na linha i , adiciona a quantidade mínima de pontos para P ser \boxtimes -satisfeito. Denotamos por $\text{add}_{\boxtimes}(P)$ o conjunto de pontos adicionados pelo algoritmo. Seja $\min ASS_{\boxtimes}$ o tamanho do menor conjunto \boxtimes -satisfeito Z com relação a X .

Lema 3.1 ([5]). *Para qualquer conjunto de pontos P , existe um conjunto de \boxtimes -retângulos independentes $IRB_{\boxtimes}(P)$, onde $|IRB_{\boxtimes}(P)| = |\text{add}_{\boxtimes}(P)|$.*

Lema 3.2 ([5]). *Para qualquer conjunto de pontos P , $\min ASS_{\boxtimes}(P) = |\text{add}_{\boxtimes}(P)| + |P|$.*

Teorema 3.3 ([5]). *Se P contém um conjunto de retângulos independentes I , então $\min ASS_{\boxtimes}(P) \geq \frac{|I|}{2} + |P|$.*

3.2 Limites superiores

Lucas apresentou o algoritmo *BST offline* guloso *GREEDY-FUTURE* [4] que segue dois princípios: (1) tocar apenas os nós no caminho de busca (caminho entre a raiz e a chave buscada), e (2) reorganizar o caminho de busca, movendo a próxima chave a ser buscada o mais próximo da raiz possível. O principal aspecto “guloso” do *GREEDY-FUTURE* é tocar apenas as chaves do caminho de busca. Lucas conjecturou que seu algoritmo fornece uma aproximação de fator constante para $OPT(S)$. E alguns anos depois Munro conjecturou que o *GREEDY-FUTURE* tem custo $OPT(S) + \mathcal{O}(m)$ [9].

Demaine et al. apresentaram o algoritmo guloso *GREEDYASS* [5] para o problema do superconjunto arboreamente satisfeito (*ASS*), onde uma linha horizontal varre o conjunto de pontos incrementalmente na coordenada y . Na linha i , adiciona a quantidade mínima de pontos para tornar o conjunto de pontos, onde $y \leq i$, arboreamente satisfeito. Esse algoritmo é *online*, porque suas decisões dependem apenas do passado. Na figura 4(b) temos a saída do *GREEDYASS* para as buscas $\{3, 1, 4, 2\}$. Pelo lema 2.3, o *GREEDYASS* pode ser transformado em um algoritmo *BST online* com custo assintoticamente igual.

Baseado no primeiro limite de Wilber, Demaine et al. propuseram a *árvore Tango* [7], que é uma *BST* $\mathcal{O}(\ln \ln n)$ -competitiva. Para alcançar este desempenho, uma árvore de limite inferior P é dividida em árvores auxiliares menores balanceadas de tamanho no máximo $\log n$. Posteriormente Wang, Derryberry e Sleator apresentaram a árvore *multisplay* [8], que também é $\mathcal{O}(\ln \ln n)$ -competitiva e é uma combinação das árvores *Splay* e *Tango*.

4. Plano de trabalho

- Revisar a bibliográfica do estado da arte sobre otimalidade dinâmica;
- Redigir o texto de dissertação e apresentar até março de 2020 contendo *survey*

Referências

- [1] K. Culik and D. Wood, “A note on some tree similarity measures,” *Inf. Process. Lett.*, vol. 15, no. 1, pp. 39–42, 1982.
- [2] D. E. Knuth, “Optimum binary search trees,” *Acta Inf.*, vol. 1, no. 1, pp. 14–25, 1971.
- [3] D. D. Sleator and R. E. Tarjan, “Self-adjusting binary search trees,” *J. ACM*, vol. 32, no. 3, pp. 652–686, 1985.
- [4] J. M. Lucas, “Canonical forms for competitive binary search tree algorithms,” *Rutgers University, Department of Computer Science, Laboratory for Computer Science Research*, 1988.
- [5] E. D. Demaine, D. Harmon, J. Iacono, D. M. Kane, and M. Pătraşcu, “The geometry of binary search trees,” in *Proceedings of the Twentieth Annual ACM-SIAM Symposium on Discrete Algorithms, SODA 2009, New York, NY, USA, January 4-6, 2009*, 2009, pp. 496–505.
- [6] R. E. Wilber, “Lower bounds for accessing binary search trees with rotations,” *SIAM J. Comput.*, vol. 18, no. 1, pp. 56–67, 1989.
- [7] E. D. Demaine, D. Harmon, J. Iacono, and M. Pătraşcu, “Dynamic optimality - almost,” in *45th Symposium on Foundations of Computer Science (FOCS 2004)*, 17-19 October 2004, Rome, Italy, *Proceedings*, 2004, pp. 484–490.
- [8] C. C. Wang, J. Derryberry, and D. D. Sleator, “ $\mathcal{O}(\log \log n)$ -competitive dynamic binary search trees,” in *Proceedings of the Seventeenth Annual ACM-SIAM Symposium on Discrete Algorithm*, ser. SODA '06. Philadelphia, PA, USA: Society for Industrial and Applied Mathematics, 2006, pp. 374–383.
- [9] J. I. Munro, “On the competitiveness of linear search,” in *Proceedings of the 8th Annual European Symposium on Algorithms*, ser. ESA '00. London, UK, UK: Springer-Verlag, 2000, pp. 338–345.